VIK 539,374

## ВВИНЧИВАНИЕ ЖЕСТКОГО ЦИЛИНДРИЧЕСКОГО ТЕЛА В ПЛАСТИЧЕСКИ АНИЗОТРОПНУЮ ТРУБУ

#### акопян г. а.

Рассматривается соосное внедрение с одновременным вращением вокруг своей оси жесткого цилиндрического тела в анизотронную, идеально-жестко-пластическую трубу, материал которого подчиняется соотношениям Мизеса-Хилла [1]. Подобная картина пластического деформирования встречается при клипопрессовой сварке разнородных труб [2]. Гехнологическая схема такого рода сварки представляет собой предварительный нагрев и соосное впрессовывание трубы из более твердого материала с монотонно возрастающим по оси внешиим диаметром в трубу из более мягкого материала, помещенную в илотную недеформируемую цилиндрическую прессформу. Процесс соединення матерналов происходит в гвердой фазс, причем физический контакт образуется за счет пластической деформации более мягкого материала, вызывающей пластические деформации в приноверхностном весьма тонком слое грубы из более твердого материала. Заметных объемных формоизменений этой трубы в процессе впрессовывания не наблюдается.

§ 1. Основные уравнения задачи. 1. Общие соотношения геории анизотропного идеального жестко-пластического течения в цилиндрических координатах в обычных обозначениях имеют вид:

дифференциальные уравнения равновесья

$$\frac{\partial z_{r0}}{\partial r} + \frac{1}{r} \frac{\partial z_{r0}}{\partial \theta} + \frac{\partial z_{rz}}{\partial z} + \frac{z_{r-z_0}}{r} = 0$$

$$\frac{\partial z_{r0}}{\partial r} - \frac{1}{r} \frac{\partial z_0}{\partial \theta} + \frac{\partial z_{r}}{\partial z} - \frac{2z_{r0}}{r} = 0$$

$$\frac{\partial z_{rz}}{\partial r} + \frac{1}{r} \frac{\partial z_{0z}}{\partial \theta} + \frac{\partial z_{z}}{\partial z} - \frac{z_{r-z_0}}{r} = 0$$
(1.1)

условие текучести Мизеса-Хилла

$$H_0(\sigma_r - \sigma_0)^2 + H_0(\sigma_r - \sigma_0)^2 + H_0\tau_{02}^2 + M_0\tau_{12}^2 + N_0\tau_{13}^2 = 1$$
 (1.2)

зависимости между компонентами тензора скоростей деформаций, скоростей перемещения и напряжений

$$z_r = \frac{\partial u}{\partial r} = \Omega[H_0(z_r - z_0) + G_0(z_r - z_s)]$$

$$\epsilon_{\theta} = \frac{u}{r} + \frac{1}{r} \frac{\partial v}{\partial t} = \Omega[F_{\theta}(z_{\theta} - z_{\theta}) + H_{\theta}(z_{\theta} - z_{\theta})]$$

$$\epsilon_{\theta} = \frac{\partial w}{\partial z} = \Omega[F_{\theta}(z_{\theta} - z_{\theta}) + G_{\theta}(z_{\theta} - z_{\theta})]$$

$$2\gamma_{\theta} = \frac{\partial v}{\partial r} - \frac{v}{r} + \frac{1}{r} \frac{\partial u}{\partial \theta} = N_{0}z_{\theta}\Omega$$

$$2\gamma_{\theta} = \frac{\partial v}{\partial z} + \frac{1}{r} \frac{\partial w}{\partial \theta} - L_{0}z_{\theta}\Omega$$

$$2\gamma_{rz} = \frac{\partial u}{\partial z} + \frac{\partial w}{\partial r} = M_{0}z_{\theta}\Omega$$

$$(1.3)$$

2. Компоненты напряжений и скоростей перемещений можно представить через произвольные функции f(r) и  $\varphi(r)$  в следующем виде:

$$\sigma_{r} = -2A - 2Bz - 2C\theta + \int_{-1}^{r} \left[ 2\mu(F + G)\varphi' - i\left(Ff' - G\frac{f}{r}\right) \right] \frac{\Omega}{r} dr$$

$$\sigma_{r} = \sigma_{r} + \Omega_{*} \left[ 2\mu(F + G)\varphi' - i\left(Ff' - G\frac{f}{r}\right) \right], \quad \tau_{r\delta} = C + \frac{D}{r^{2}}$$

$$\sigma_{z} = \sigma_{r} + \Omega_{*} \left[ 2\mu(F + G)\varphi' - i\left(F + H\right)f' + H\frac{f}{r} \right], \quad \tau_{r\varepsilon} = Br + \frac{E}{r}$$

$$\tau_{\theta z} = 2L\Omega_{*} \left[ i(r\varphi)' - \frac{\mu}{2r^{2}}(fr)' \right], \quad u = (if - 2\mu\varphi) \exp(i\lambda z + \mu\theta)$$

$$v = 2(r\varphi)' \exp(i\lambda z + \varphi\theta) + Kr, \quad v = -\frac{1}{r}(rf)' \exp(i\lambda z + \mu\theta) + T$$

$$(1.4)$$

где A, B, C, D, E, K, T—произвольные постоянные и введены обозначения

$$\Omega_{\bullet} = \sqrt{1 - M_{0}\tau_{cc}^{2} + N_{0}\tau_{cc}^{2}} \left\{ (G + F)(hf' - 2\mu\varphi')^{2} - 2G - (-2\mu\varphi')(rf)' + \frac{1}{2} (H + G)\frac{\lambda^{2}}{r^{2}} (rf)'^{2} + 4L \left[ \lambda(r\varphi)' - \frac{1}{2r^{2}} (rf)' \right]^{\frac{1}{2}} \right\}^{-1/2}$$

$$F = \frac{1}{2}, \quad G = \frac{1}{2}, \quad H = \frac{H_{0}}{2}, \quad L = L_{0}^{-1}, \quad M = M_{0}^{-1}, \quad N = N^{-1}$$

$$\Delta = L_{0}G_{0} + G_{0}G_{0} + G_{0}G_{0} + H_{0}F_{0}$$

Уравнения (1.4) будут решением системы уравнений (1.1) – (1.3), если функции f(r) и  $\varphi(r)$  удовлетворяют следующей системе обыкновенных дифференциальных уравнений:

$$f'' + \frac{f'}{r} - \frac{1 + \kappa^2 r^2}{r} f + 2\alpha k \phi + \frac{M_0 \gamma_{12}}{\sqrt{1 - M_0 \gamma_{12} - N_0 \gamma_{21}}} \left\{ (G \nmid F)(\kappa f' - 2\phi \gamma')^2 - 26 \right\}$$

$$-2G - (\lambda f' - 2u\varphi')(rf)' + (G + H) \frac{L^{2}}{r^{2}} (rf)'^{2} + 4L \left[ \lambda (r\varphi)' - \frac{1}{2r^{2}} (rf) \right]^{2} \right]^{1/2} = 0$$

$$(1.5)$$

$$\varphi'' + \frac{\varphi'}{r} - \frac{1 + \mu^{2}}{r^{2}} \varphi - \frac{1}{2r\sqrt{1 - 2u\varphi'}} \left[ (G + F)(\lambda f' - 2u\varphi')^{4} - \frac{1}{r^{2}} (rf)'^{2} + 4L \left[ \lambda (r\varphi)' - \frac{1}{r} (rf)' \right]^{2} \right]^{1/2} = 0$$

$$-2G - (\lambda f' - 2u\varphi')(rf)' + (G - H) \frac{L^{2}}{r^{2}} (rf)'^{2} + 4L \left[ \lambda (r\varphi)' - \frac{1}{r} (rf)' \right]^{2} = 0$$

Полученная система уравнений кроме своих постоянных содержит еще четыре произвольные постоянные, входящие в функции т<sub>16</sub> и т<sub>12</sub>. Характер течения пластической массы на граничных поверхностях тела определяет краевые условия для этой системы, а из условий, накладываемых на указанные касательные напряжения на этих поверхностях, находятся произвольные постоянные, содержащиеся в этих выражениях. Гидростатическая постоянная А определяется из условия равновесия тела в продольном направлении. Решение (1.4) может представлять, в частности, пространственное деформирование пластического материала между шероховатыми жесткими сближающимися поверхностями R = a<sub>1</sub> b<sub>1</sub> exp(rz + p0), где a<sub>1</sub> и b<sub>1</sub> —положительные заданные постоянные.

3. В случае осесимметричного деформирования имеем  $C=\mu=0$ . Вводя обозначение  $(r\varphi)'=\varphi(r)$ , для компонентов напряжений из (1.4) имеем

$$\sigma_r = -2A - 2Bz - x \left[ \left( Ff' - G \frac{f}{r} \right) \frac{\partial}{\partial r} dr, \quad x = \text{sign} i \right]$$

$$\sigma_{\theta} = \sigma_r - x \left( Ff' - G \frac{f}{r} \right) \omega, \quad \sigma_z = \sigma_r - x \left[ \left( F + H \right) f' + H \frac{f}{r} \right] \omega$$

$$\sigma_{\theta z} = 2L \psi \omega, \quad \sigma_{zz} = Br + \frac{F}{r}$$
(1.6)

где обозначено

$$\omega = \frac{1/1 - \frac{1}{\sqrt{(F+H)f} + 2H \frac{f'f}{r} + (G+H) \frac{f}{r} + 4L\psi^2}}$$
(1.7)

Компоненты скоростей перемещении

$$u = f \exp(iz), \quad v = \langle r - 2 \rangle \exp(iz), \quad w = -\frac{1}{r} (rf)' \exp(iz) + T \quad (1.8)$$

Вместо (1-5) будем иметь следующую систему дифференциальных уравнений:

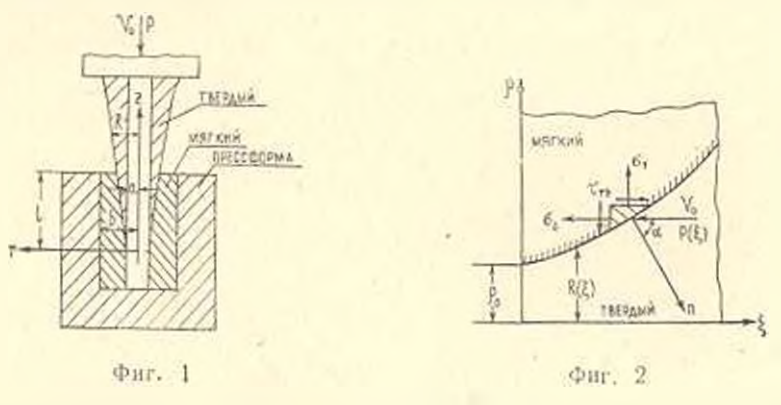
$$f'' + \frac{f'}{r} - \frac{1}{1 - M_0 \tau_{rz}^2 - N_0 \tau_{r\theta}^2} \times \frac{\omega M_0 \tau_{rz}}{1 - M_0 \tau_{rz}^2 - N_0 \tau_{r\theta}^2} \times \frac{\omega M_0 \tau_{rz}}{1 - M_0 \tau_{rz}^2 - N_0 \tau_{r\theta}^2}$$

$$\times \sqrt{F+H}f^{2} + 2H\frac{f^{2}f}{r} + (G+H)\frac{f^{2}f}{r} + 4L\psi = 0$$

$$V = \frac{\psi}{r} - \frac{2\lambda N_{0}\tau_{0}}{2\sqrt{1-M_{0}\tau_{r}^{2}-N_{0}\tau_{r0}^{2}}}\sqrt{(F+H)f^{2} + 2H\frac{f^{2}f}{r} + (G+H)\frac{f^{2}}{r^{2}} + 4L\psi^{2} = 0}$$
(1.9)

Будем отличать внутреннее и внешнее внедрение в зависимости от того жесткий элемент впрессовывается с внутренией или с внешней стороны по отношению к элементу из болсе мягкого материала.

§ 2. Внутреннее ввинчивание. Пусть в абсолютно жесткую цилииприческую прессформу плотно помещена цилиндрическая труба из
идеально-жестко-пластического анизотронного материала с внутренним и внешним радпусами a и b, соответственно, а в нее соосно впрессовывается, совершая одновременно вращательное движение вокругсвоей оси с угловой скоростью — цилиндрическая труба из значительно более твердого материала с переменным внешним раднусом R(z) =  $= a + m_1 \exp(-z)$  где у и  $m_1 - 3$ аданные положительные постоянные
(фиг. 1). Материал этой трубы считаем недеформируемым.



Пилиндрическую координатную систему закрепляем с жесткой трубой так, чтобы плоскость z=0 прошла через входное торцевое сечение, а положительное направление оси z—по оси груб, против направления движения. Полагаем, что вращение жесткой трубы происходит в сторону возрастания полярной координаты  $\theta$ . Считаем, что материал деформируемой анизотропной трубы по всей толщине в области z>0 переходит в чисто пластическое состояние, а торен z=t этой грубы считаем спободным от внешних сил.

Введем обозначения:  $u_0 = \frac{u_1}{b}$ ,  $h = \frac{a}{b}$ ,  $\phi_0 = \frac{a}{b}$ , безразмерные координаты  $a = \frac{r}{b}$ ,  $b = \frac{1}{b}$  и функции  $R(z) = bR_*(z), \quad f(r) = b^2 f_*(\phi), \quad \psi(r) = b\psi_*(\phi)$ 

где  $R_{\bullet}(\xi) = p_0 + \nu u_0 e^{\nu \xi}$ .

После преобразования формул (1.6) — (1.7), опуская в дальнейшем знак ", для компонентов напряжений голучаем

$$\sigma_{\ell} = -2A - 2B\xi - \int_{0}^{\pi} \left( Ff' - G \frac{f}{\rho} \right) \frac{\omega}{\rho} d\rho$$

$$\sigma_{\ell} = \sigma_{r} - \left( Ff' - G \frac{f}{\rho} \right) \omega, \quad \sigma_{z} = \sigma_{r} - \left[ (F+H)f' + H \frac{f}{\rho} \right] \omega$$

$$\tau_{\ell z} = 2L\phi\omega, \quad \tau_{r\ell} = \frac{D}{\rho^{2}}, \quad \tau_{rz} = B\phi + \frac{E}{\rho}.$$

$$(2.1)$$

причем

$$w = \frac{\sqrt{1 - M_0 - 1 - N_0 - 1}}{\sqrt{(F - H)f'^2 + 2H \frac{f'f}{2} + (G - H) \frac{f'}{2} + 4L^{\frac{3}{2}}}}$$

Компоненты скоростей перемещений в новых обозначениях будут

$$u = f(\rho) \exp(v\epsilon), \quad v = K_2 + 2\psi(v) \exp(v\epsilon), \quad w = -\frac{1}{\rho} (of)' \exp(v\epsilon) + T$$
 (2.2)

Здесь и в дальнейшем скорости перемещений отнесены к в.

Система дифференциальных уравнечий (1.9) в новых переменных перепишется в виде

Исходя из допущения о недеформируемости вдавливаемой трубы и прессформы, а также принимая—за пормальную скорость перемещения на поверхности  $\rho = R(\xi)$  радиальную скорость перемещения  $u(\varrho_0, \xi)$ , для функции  $f(\varrho)$  будем иметь граничные условия

$$f(o_0) = u_0 V_0 = u_*, \quad f(1) = 0$$
 (2.4)

где  $V_0$ -скорость внедрения.

На контактной поверхности между жесткой и деформируемой трубами принимаем условие v=3V, где V=w,R линейная скорость (в долях b) точки внешней поверхности жесткой трубы, 8—параметр.  $0 \leqslant \beta \leqslant 1$ , зависящий от скорости вращения, шероховатости поверхностей, физико-механических свойств материалов и определяемый из эксперимента. Используя принятое условие и выражение v из (2.2), находим K=3w, и значение

$$(2.5) = \frac{\pi}{2} \beta n_x n_x$$

Принимаем, что степени инероховатости на внутренних и внешних поверхностах в продольных и кольцевых направлениях, соответственно, заданы и равны  $m_1, -q_1$  и  $m_2, -q_2$ , причем  $m_i, q_i > 0$  и полчиняются условню  $m_i^2 = 1$ . Ислользуя эти граничные условня, находим

$$B = \frac{m_2 - \rho_0 m_1}{1 - \rho_0^2}, \quad E = \frac{m_1 - \rho_0 m_1}{1 - \rho_0^2} \, \rho_0, \quad D = -\rho_1^2 \, \rho_1 \tag{2.6}$$

При одинаковой шероховатости на контактим и поверхностях, го есть при  $s = p_0$  и s = 1, степени шероховатости одинаковы по всем направлениям и развы соответствению  $m_0$  и  $m_0$ . Можно положить

$$\tau_r \iota = -\frac{m_1 v}{\sqrt{v^2 + w^2}}, \quad \tau_r = \frac{m_r w}{\sqrt{v^2 + w^2}} \quad \text{if } i = 20, 1$$

Полагая K=T=0 и учитывая выражения для  $\pi$  и  $\pi$  в (2.1), из формул (2.2) находим

$$\begin{split} B &= \frac{1}{2(1-\varphi_0^2)} \left\{ \frac{\varphi_0 m_1 \left[ f'(\varrho_0) + \frac{u_*}{\varrho_0} \right]}{\sqrt{\psi^2(\varrho_0) + \frac{1}{4} \left[ f'(\varrho_0) + \frac{u_*}{\varrho_0} \right]^2}} - \frac{m_2 f'(1)}{\sqrt{\psi^2(1) + \frac{1}{4} f'^2(1)}} \right\} \\ E &= -\frac{\varrho_0}{2(1-\varrho_0^2)} \left\{ \frac{m_1 \left[ f'(\varrho_0) + \frac{u_*}{\varrho_0} \right]}{\sqrt{\psi^2(\varrho_0) + \frac{1}{4} \left[ f'(\varrho_0) + \frac{u_*}{\varrho_0} \right]^2}} - \frac{\varrho_0 m_2 f'(1)}{\sqrt{\psi^2(1) + \frac{1}{4} f'^2(1)}} \right\} \\ D &= -\frac{m_1 \varrho_0^2 \psi(\varrho_0)}{\sqrt{\psi^2(\varrho_0) + \frac{1}{4} \left[ f'(\varrho_0) + \frac{u_*}{\varrho_0} \right]^2}} = -\frac{m_2 \psi(1)}{\sqrt{\psi^2(1) + \frac{1}{4} f'^2(1)}} \end{split}$$

Последнее равенство и (2.4) являются граничными условиями для системы уравнений (2.3). При отсутствии вращения  $\frac{1}{2}(a) = D = 0$  и формулы для B и E совнадают с соответствующими выражениями (2.6).

Торец леформируемой трубы  $\epsilon = \epsilon_0 - l_1 b$  свободен от нормальных сил, следовательно,

$$\int \sigma_2(\rho, z_0) \rho d\rho = 0 \tag{2.7}$$

Подставляя выражение з. из (2.1) и произволя интегрирование по частям в получениюм двухкратном интеграле, найдем

$$A = -B\varepsilon_0 - \frac{1}{2(1-\varepsilon^2)} \left[ \left( 2H + F + - \right) f' + \left( 2H + G - \frac{G}{\varepsilon} \right) - \right] \cos d\varphi$$

Используя выражения компонентов скоростей перемещений, легко проверить, что условие сохранения количества масс—

$$\mathfrak{p}_0 \int_0^{\mathfrak{p}} \kappa(p_0, \, \xi) d\xi = \int_{\mathfrak{p}_0}^1 |w(p, \, \xi_0) - w(p, \, 0)| p dp$$

выполняется тождественно.

Из условня равновесня элемента на контактной поверхности трубы  $\mathfrak{o} = R(\mathfrak{t})$  (фиг. 2) для абсолютного значения давления по оси имеем

$$f(z) = -z_1(a_0, z)\cos z + z_{12}(a_0)\sin z$$

причем

$$\sin x = \frac{1}{\sqrt{1 + R^2}}, \cos x = \frac{R^2}{\sqrt{1 + R^2}}$$

Суммарная осевая сила, прихолящаяся на эту поверхность, то есть сила впрессовывания будет

$$P = 2\pi b^2 \int_0^1 R(1)\sqrt{1 + R^2(1)} p(1) d1$$
 (2.8)

Подставляя выражения для  $R(\bar{z})$  и  $p(\bar{z})$  и производя интегрирование, находим

$$P! = b^{n} = 2 \sqrt{m_{1,0}} + 2u_{0}(e^{v_{10}} - 1)(m_{1} + v_{0}S) + v_{10}(e^{v_{10}} - 1) + 4B_{co}u_{0}[1 - e^{-(v_{10} - 1)}] + B_{co}u_{0}[1 - e^{v_{10}}(2v_{0}^{2} - 1)]$$
(2.9)

причем  $S=Q-2B\xi_0$ , где

$$Q = -\frac{1}{1 - \rho_0^2} \int_0^1 \left[ \left( 2H + F + \frac{F}{\rho^2} \right) f' + \left( 2H + G - \frac{G}{\rho^4} \right) \frac{f}{\rho} \right] \cos d\phi + \left[ (F + H) f'(\rho_0) + H \frac{u_0}{\rho_0} \right] \omega(\rho_0)$$

Разлагая в степенной ряд экспоненциальные функции, входящие в (2.9), и ограничиваясь первыми двуми членами, получим

$$P = (o_0 + vu_0)(m_1 - v_0)$$
 (2.10)

Вращающий момент определится по формуле

$$\mathcal{M}^* = 2\pi b^3 q_1 \left[ (c_0 + v_0 e^{v_0})^2 \sqrt{1 + v^4 u_0^2 e^{2v_0}} \right]$$
 (2.11)

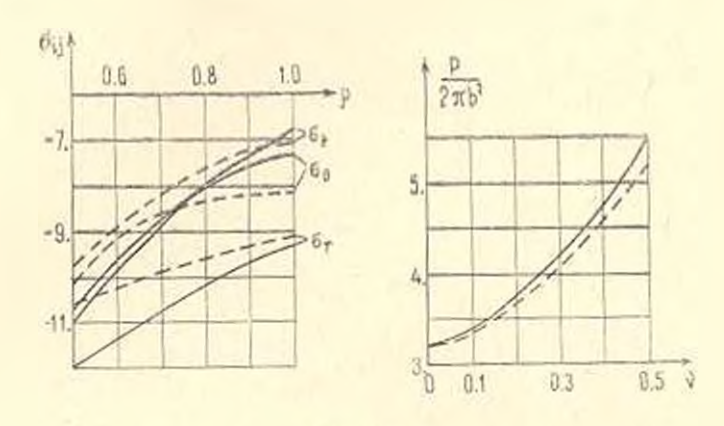
Получено численное решение системы дифференциальных уравнений (2.3) с краевыми условиями (2.4), (2.5), при следующих значениях параметров:

$$v = 0.2$$
;  $v = 0$ ,  $v = 0$ ,  $v = 1$ ;  $u_0 = 0.25$ ;  $v_0 = 0.5$ ;  $m_1 = 0.8$ ;  $m_2 = 0.1$ ;  $q_1 = 0.5$ 

$$q_2 = 0.125$$
;  $\beta = 0.5$ ;  $\omega_1 = 1$ ;  $I \cdot /M = 5$ ;  $G/M = 2$ ;  $I \cdot /M = 0.5$ ;  $I \cdot /M = 1.5$ ;  $N/M = 2.5$ 

На основании численных расчетов, выполненных на ЭВМ ЕС-1022, по формулам (2.1), (2.10) на фиг. З построены графики напряжений и силы впрессовывания. Для сравнения пунктирной линпей ноказан график напряжений и силы впрессовывания для изотропной трубы. Как видьо из графиков, анизотропия существенно илияст на напряженное состояние и на величину силы ппрессовывания.

1. При весьма малых значениях у в системе уравнений (2.3), принимая у=0, приходим к двум отдельных дифференциальным урависниям



Фиг. 3

$$f'' + \frac{1}{\rho} - \frac{1}{\rho^2} = 0, \quad \psi' - \frac{1}{\rho} = 0$$
 (2.12)

решения которых при краевых условия.: (2.4) и (2.5) соответственно будут

$$f = \frac{\mu}{1 - \frac{2}{0}} \left( \frac{1}{\rho} - \delta \right). \qquad \frac{1}{2} = \frac{1}{\rho_0} \tag{2.13}$$

- Подставляя (2.13) в формуль напряжений (2.1), получим

$$+\frac{F+G}{1-e^2}\Big]\omega_0 \circ d\phi + \Big[\Big(F-(i+\frac{F+G}{2})-\omega_0\Big) - \frac{1}{1-e^2}\Big] + \Big(F-G+\frac{F+G}{2}\Big)\omega_0$$

$$= -\frac{e^2}{1-e^2}\Big[\frac{F}{2}\Big]\omega_0, \qquad = -\frac{e^2}{1-e^2}\Big[\frac{e^2}{2}\Big]\omega_0$$
(2.14)

$$w_{0} = \frac{1}{1/F + G + 4H + (F - G)\frac{2}{3} + \frac{F + G}{3} + L\alpha^{2}\rho^{2}} \qquad -\alpha_{1}\frac{\rho^{2}}{\rho}, \quad \gamma_{0z} = L\alpha\rho\omega_{0}$$

$$\alpha = \nu_{1}^{2}\omega_{1}\left(\frac{1}{2} - 1\right)$$

Скорости перемещений согласно (22) будут

$$u = \frac{u}{1 - \rho_0} \left( \frac{1}{\rho} - \rho \right) e^{-\tau}, \quad v = \beta \omega_1 a \left( 1 + v \frac{u}{\rho_0} e^{\tau \tau} \right)$$

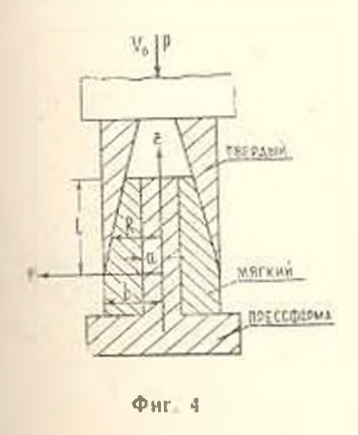
$$w = \frac{2u - \rho_0}{1 - \rho_0^2} e^{\tau \tau} + T \tag{2.15}$$

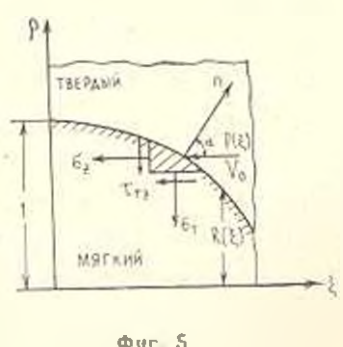
Сила впрессовывания и момент вращения определяются по (2.9) н (2.11), причем значение Q определится по формуле

$$Q = -\frac{F + (F + 2II)\rho\delta}{\rho_0} \omega_0(\rho_0) + \frac{1}{1 - \rho_0^2} \int \left| F + G + 4II + \frac{2(F - G)}{\rho} + \frac{F + G}{\rho} \right| \omega_0 d\rho$$

§ 3. Внешнее ввинчивание. Пусть теперь цилиндрическая труба с внутренним и внешням радпусами а и в, соответственно, из идеальножестко-пластического ортотронного материала плотно насажена на недеформируемую трубу (прессформа), на которую с наружной стороны соосно впрессовывается, одновременно вращаясь вокруг своей оси в положительном направлении с угловой скоростью и, труба из значительно более твердого материала с внутренним, монотонно возраствющим по оси трубы относительным разнусом  $R = 1 - v = \exp(v \xi)$ . Материал этой трубы считаем абсолютно жестким, а координатную систему закрепляем с ней как в случае внутреннего внедрения (фиг. 4). Принимаем, что деформируемая труба по всей толшине при г>0 переходит в чисто пластическое состояние.

Заменяя в выражениях (2.1)-(2.2) знаки функции  $f(\mathfrak{o})$  и  $\psi(\mathfrak{o})$ . для компонентов напряжений получим





Фиг 5

$$\sigma_{r} = -2A - 2B\xi + \int_{\rho_{0}}^{\rho} \left(Ff' - G\frac{f}{\rho}\right) \frac{\omega}{\rho} d\rho$$

$$\sigma_{\theta} = \sigma_{r} + \left(Ff' - G\frac{f}{\rho}\right) \omega, \quad \sigma_{z} = \sigma_{r} + \left[\left(F + H\right)f' + H\frac{f}{\rho}\right] \omega$$

$$\tau_{\theta} = -2L\psi\omega, \quad \tau_{\theta} = \frac{D}{\rho^{2}}, \quad \tau_{rz} = B\rho + \frac{E}{\rho}$$
(3.1)

причем

$$\omega = \frac{1}{\sqrt{(F_{-1}H)f^{-2} + 2H - \frac{f}{2} + (G_{-1}H)\frac{f^{2}}{t^{2}} + 4Lb^{2}}}$$

Соответственно, для компонентов схоростей перемещений (в долях b) будем иметь

$$w = -f(s)e^{-t}, \quad v = K_0 - 2\psi(p)e^{-t}, \quad w = \frac{1}{p}(pf)'e^{-t} + T$$
 (3.2)

Система дифференциальных уравнении (2.3) примет вид

$$f'' + \frac{f'}{2} - \frac{1+\frac{1}{2}}{2^{3}} f - \frac{1+\frac{1}{2}}{\sqrt{1-M_{0}z_{x}^{2}} - N_{0}z_{x}^{2}} \times \sqrt{(F+H)f'^{2} + 2H'' - + (G+H)\frac{f'^{3}}{2} + 4L^{\frac{1}{2}}} = 0$$
(3.3)

$$\phi' = \frac{\psi}{2} + \frac{\pi N_0 z_{cl}}{2 \eta' \frac{1 - M_0 z_{cl}}{1 - M_0 z_{cl}}} \sqrt{(F + H)f'^2 + 2H \frac{f''f}{2}} + (G + H) \frac{f''}{\phi''} + 4L \phi^2 = 0$$

Исходя из допущения и недеформируемости вдавливаемой трубы и прессформы, а также из того, что нормальная скорость перемещения на поверхности  $\rho = R(\cdot)$  заменяется ралиальной  $u(\cdot,\cdot)$ , для функции  $f(\rho)$  имеем граничные условия

$$f(g_0) = 0, \quad f(1) = u_0 V_0 = u_0$$
 (3.4)

Далее на контактной поверхности  $\rho = 1$  принимаем условие  $v - \beta V$ , где V = -R линейная скорость точки внутренней поверхности жесткой трубы, находим  $K = 8\omega$ , и значение

$$\mathfrak{z}(1) = \frac{r}{2} \, \mathfrak{z}_{\alpha_1} \mathfrak{u}_{\alpha_2} \tag{3.5}$$

Граничные значения  $\tau_{i,i}$  и — на внутрением и на внецінем поверхностих в продольном и в кольцевом паправленнях считаем известными —  $m_1$ ,  $q_1$  и —  $m_2$ ,  $q_3$ , соответственно, где  $m_i$ ,  $q_i > 0$  и очевидно  $m^2 + q^2 < 1$ .

Используя эти граничные условия, находим

$$B = \frac{s_0 m_1 - m_2}{1 - s_0}, \quad E = \frac{\rho_0 m_1 - m_1}{1 - s_0} \rho_0, \quad D = q_1 = q_1 s_0^2 \tag{3.6}$$

Из статического условия (2.7) определяем

$$A = -B\xi_0 + \frac{1}{2(1-\rho_0)} \int_{\rho_0}^{1} \left[ \left( 2H + F + \frac{F}{\rho^2} \right) f' + \left( 2H + G - \frac{G}{\rho^2} \right) \frac{f}{\rho} \right] d\rho$$

Легко убедиться, что условие сохранения количества масс удовлетворяется тождественно.

Из условня равновесия элемента вблизи контактной поверхности  $\rho = R(\xi)$  (фиг. 5) для абсолютного значения осевого давления получим

$$p(z) = -\sigma_{z}(1, \xi) \cos \alpha - \tau_{zz}(1) \sin \alpha \tag{3.7}$$

причем

$$\sin = \frac{1}{\sqrt{1 + R'}}, \cos \alpha = -\frac{R'}{\sqrt{1 + R'^2}}$$

Сила впрессовывания определяется по формуле (2.8), где слежует положить  $R=1-m_0$  а значение p(z)—согласно (3.7). Находим

$$P/\pi b^{2} = 2\epsilon_{0} m_{2} - 2u_{0}(e^{-\epsilon_{0}} - 1)(-m_{1}) - u_{1}(-1) - U_{2}(-1) + e^{-\epsilon_{0}}(-1)[-Bvu_{0}^{2}] + e^{2\epsilon_{0}}(2\epsilon_{0} - 1)]$$

$$(3.8)$$

где  $S = Q - 2B\xi_p$ , причем

$$Q = \frac{1}{2(1-\rho_0^2)} \int_{\frac{\pi}{2}}^{1} \left[ \left( 2H + F + \frac{F}{\rho^2} \right) f' + \left( 2H + G - \frac{G}{\rho^2} \right) \frac{f}{\rho} \right] \omega \rho d\rho -$$

$$- \int_{\frac{\pi}{2}}^{1} \left( Ff' - G \frac{f}{\rho} \right) \frac{\omega}{\rho} d\rho - \left[ (F + H)f'(1) + Hu_0 \right] \omega(1)$$

Разлагая в степенной ряд экспоненциальные функции и ограничиваясь первыми двумя членами, получим

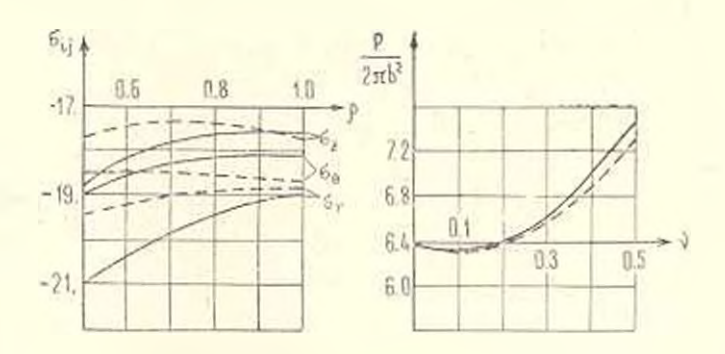
$$P/=b^{2}-2\xi_{0}(1-\nu u_{0})(m_{2}+\nu^{2}u_{0}Q)$$
(3.9)

Вращающий момент будет

$$M^* = 2\pi b^3 q_2 \int_0^{\pi} (1 - v u_0 e^{v_0})^2 \sqrt{1 + v^4 u^2 e^{2v_0}} dx$$

При весьма малых значениях у система (3.3) сводится к дифференциальным уравнениям (2.12), решения которых при граничных условиях (3.4) и (3.5) будут

$$f = \frac{\rho_0 u_0}{1 - \rho_0^2} \left( \frac{\rho}{\rho_0} - \frac{\rho_0}{\rho} \right), \quad \alpha = \frac{1}{2} \beta w_1 u_0 \rho$$



Фиг. 6

Формулы напряжений (3.1) примут вид

$$\sigma_{s} = -\frac{2(m_{1} - \gamma_{0}m_{1})}{1 - \gamma_{0}} \left( \frac{1}{1 - \gamma_{0}T} \right) \left[ F + G + 4H + (F - G) \frac{1 + \rho_{0}^{2}}{\rho^{2}} + \frac{1}{\rho^{2}} \right]$$

$$= -\frac{1}{1 - \gamma_{0}} \left[ w_{0} p d \gamma_{0} + \frac{1}{\rho^{2}} \right] \left[ F + G + (F - G) \frac{1}{\rho^{2}} \right] w_{0}$$

$$= -\frac{\rho_{0} m_{2} - m_{1}}{1 - \rho_{0}^{2}} \frac{\rho_{0}}{\rho} \frac{m_{1} - m_{1}}{1 - \rho_{0}^{2}} \rho_{s} \qquad \tau_{r0} = q_{1} \frac{\rho_{0}}{\rho^{2}}$$

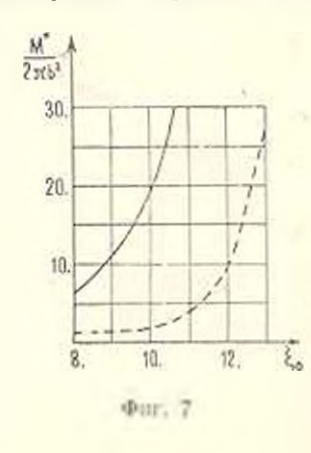
$$= -\frac{\rho_{0} m_{2} - m_{1}}{1 - \rho_{0}^{2}} \frac{\rho_{0}}{\rho} \frac{m_{1} - m_{1}}{1 - \rho_{0}^{2}} \rho_{s} \qquad \tau_{r0} = q_{1} \frac{\rho_{0}}{\rho^{2}}$$

$$= -\frac{\rho_{0} m_{2} - m_{1}}{1 - \rho_{0}^{2}} \frac{\rho_{0}}{\rho} \frac{m_{1} - m_{1}}{1 - \rho_{0}^{2}} \rho_{s} \qquad \tau_{r0} = q_{1} \frac{\rho_{0}}{\rho^{2}}$$

где

$$\omega_{0} = \frac{1/\overline{1 - M_{0}\tau_{rs}^{2} - N_{0}\tau_{rb}^{2}}}{\sqrt{F + G + 4H - 2(F + G)\frac{\theta_{0}^{4}}{\rho^{2}} + (F + G)\frac{\theta_{0}^{4}}{\rho^{4}} + L\sigma^{2}\rho^{2}}}$$

Скорости перемещений, соответственно, будут



$$\begin{split} u_0 &= -\frac{\nu u_* \rho_0}{1 - \rho_0^2} \left(\frac{\rho}{\rho_0} - \frac{\rho_0}{\rho}\right) \exp\left(\nu \xi\right) \\ v &= \beta \omega_1 \rho (1 + \nu u_0 \exp(\nu \xi)) \quad , w = \frac{2u_*}{1 - \rho_0^2} \exp(\nu \xi) + T \end{split}$$

Сила впрессовывания определится по формуле (3.9), причем

$$Q = \frac{1}{2(1-\rho_0^2)} \int_{\rho_0}^{1} \left[ F + G + 4H + (F - G) \frac{1+\rho_0^2}{\rho^2} + (F + G) \frac{\rho_0^2}{\rho^4} \right] \omega_0 d\rho - \int_{0}^{1} \left[ F - G + (F + G) \frac{\rho_0^2}{\rho^4} \right] \frac{\omega_0}{\rho} d\rho$$

$$= \frac{[2H + F(1+\alpha_0)] \sqrt{1 - M_0 m^2 - N_0 q_0^2}}{\sqrt{F + G + 4/I + 2(F - G)\rho_0^2 + (F + G)\rho_0^4 + L\alpha^2}}$$

Численное решение системы дифференциальных уравнений (3.3) с краевыми условиями (3.4), (3.5) получено при следующих значениях параметров

• 0.2;  $\mathbf{t} = 0$ ;  $\mathbf{t}_0 = 8$ ;  $V_0 = 1$ ;  $u_0 = 0.25$ ;  $g_0 = 0.5$ ;  $m_1 = 0.1$ ;  $m_2 = 0.8$ ;  $q_4 = 0.5$ ;  $q_4 = 0.125$ ;  $\beta = 0.5$ ;  $m_4 = 1$ ; F/M = 5; G/M = 2; H/M = 0.5; L/M = 1.5; N/M = 2.5 На основании численных расчетов, выполненных на ЭВМ ЕС-1022, по формулам (3.1) и (3.9) построены графики напряжений и силы впрессовывания (фиг. 6). Для сраинения пунктирной линией показан график напряжений и силы впрессовывания для изотроиной трубы. На графиков видно влияние апизотронии на напряженное состояние и силу впрессовывания. На фиг. 7 ноказан график изменения крутящего момента  $M^*$  в зависимости от глубины внедрения  $\mathbf{t}_0$  в случае внутреннего (силошная линия) и внешнего впедрения (пунктирная линия).

### ԿՈՇՏ ԳԼԱՆԱՅԻՆ ՄԱՐՄՆԻ ՆԵՐՊՏՈՒՏԱԿՈՒՄԸ

H. S. 2114003111

## Մանփոփում

Դիտարկվում է սեփական առանցքի շուրջը պատումով կոշտ գլանային ժարմնի ներդրումը անիղոտրոպ իդեալական-կոշտ-պլաստիկ խողովակի մեջ, որի նյուքը ենքարկղում է Միզնսի-Հիլլի հոսունության պայմանին։ Լուժման հեջ դեֆորմացիաների արադուքյունների տենզորը ֆունկցիա է շառավղային և երկայնական կոորդինատներից։ Ստացված են դլանային անիզոտրոպ խողովակի մեջ առաջացած լարումները, ներդրման ումը և պատող մոմենտը որոշող արտահայտություններ։ Դիտարկված է այ տարին և ներքին ներդրումնը Բերված են թվային օրինակներ։

# THE SCREW DISPLACEMENT OF A RIGID CYLINDRICAL BODY IN A PLASTIC ANISOTROPIC PIPE

A. G. HACOBIAN

Summary

The penetration of a rigid cylindrical body with simultaneous rotation around its axis in an anisotropic ideal rigid plastic pipe is considered, the material of which obe s the Mises-Hill flow criterion. In the

solution the tensor of speed strain is a function of radial and longitudinal coordinates. We have obtained relations which determine the stress appearing in a cylindrical anisotropic pipe as well as the penetration force and the rotating moment, internal and external penetration are considered. A numerical example is presented.

#### ЛИТЕРАТУРА

1 Хилл Р. Математическая теория пластичности М.: Гостехивдат, 1956 408 с.

2. Шоршоров М. Х., Колесниченко В. А., Алехин В. П. Клинопрессовая сварка давлением разнородных материалов. М.: Металлургия, 1982. 112 с.

Институт механики АН Армянской ССР

> Поступила в редакцию 1.1V.1985